

京都大学工学部 正員 工博 口合 田 健  
 同 正員 工修 泉 宮 功  
 同 学生員 李 錦榮

## 1. 緒言

わが國の汚水処理では、活性汚泥法の応用がますます盛んになろうとしているが、つぎのような指向が重要なこととして指摘される。すなはち、1) 用地の高度利用、施設の集約化をめざし、施設単位容積あたりの浄化能力の高いシステムをとる、2) 明らかにされた物質收支の理論に従い、操作方法をより合理的、高度なものにする、3) 将來、処理水の還元利用に際して後段処理にスムーズに結びつくようにする；等である。

この発表は、昨年の土木学会第21回年次学術講演会、ならびに11月の第3回衛生工学研究討論会に発表した研究をさらに進めて、パイロットプラント実験によるデータと、理論的検討の追加により、高負荷運転の技術的な地位やそのありがたさを具体的に示したものである。しかし今の段階では、上記1), 2) の指向には沿っているが、3) についての位置づけは十分ではない。

## 2. これまでの考え方

次の頁の説明図に示すとおり、以下つぎの記号を用いて論を進める。すなはち  $Q$ ：流入汚水量 ( $m^3/hr$ )、 $L_i$ ：流入水中の溶解性基質濃度 (ppm)、 $S_i$ ：同じく浮遊物質濃度 (ppm)、 $r$ ：返送汚泥流量比、 $L_f$ ：ばっ氣槽流出水中の溶解性基質濃度 (ppm)、 $L_b$ ：ばっ氣槽流入端での溶解性基質濃度 (ppm)、 $L$  および  $S$ ：それぞればっ氣行程の時刻  $t$  での溶解性基質・浮遊物質濃度 (ppm)、 $S_r$  および  $L_r$ ：それぞれ返送汚泥中での  $L$ 、 $S$  の値 (ppm)、 $V_a$ ：ばっ氣槽有效容量 ( $m^3$ )、 $A$ ：流過方向のばっ氣断面積 ( $m^2$ )、 $l$ ：ばっ氣水路の長さ (m)、 $t_a$ ： $V_a/(1+r)Q$  で標準式運転におけるばっ気時間 (hr)、 $k_1$ ：溶解性基質除去反応における速度定数 ( $ppm \cdot hr$ )<sup>-1</sup>、 $k_2$ ：自己酸化における  $S$  の変化に関する速度定数 ( $hr$ )<sup>-1</sup>、 $a$ 、 $b$ ：汚泥量と基質濃度の換算定数、 $\eta$ ：基質負荷がばっ氣槽に分散添加されたときの分散率 ( $Q=\Sigma\eta$ )。

これまでの著者らの研究では、溶解性基質の添加がすべてばっ氣始端で行はわれる標準型の操作で基質量および  $SS$  の收支の基礎式は次式で示される（第3回討論会論文 [~4頁]）。

$$\frac{dL}{dt} = -k_1 LS / (k_1 S + L), \quad \frac{dS}{dt} = -\alpha \frac{dL}{dt} - k_2 S \quad \dots \dots (1)$$

基質濃度の高くなない段階で、 $L_b = (L_i + rL_r)/(1+r)$  を用い、 $dL/dt = -k_1 S L$  として、 $S$  を一定 ( $S_0$ ) すれば取扱いは簡単になり

$$\frac{dL}{dt} = -k_1 S_0 L + k_2 b \exp[-k_2 t]$$

を解くことに帰し、 $L_f/L_b = \eta$ 、すなはち基質除去効率をつきのように表わすことができる。

$$\begin{aligned} \eta &= \exp[-k_1 S_0 t_a] + \frac{b k_2 S_0}{k_1 S_0 - k_2} \left\{ \exp[-k_2 t_a] - \exp[-k_1 S_0 t_a] \right\}, \quad \text{または} \\ \text{近似式} \quad \eta &= \alpha + (1-\alpha) \exp[-\tau], \quad \alpha = b k_2 / k_1 L_b, \quad \tau = k_1 S_0 t_a \end{aligned} \quad \dots \dots (2)$$

この結果は種々の便益によるものとはいい、標準式操作、ひいては活性汚泥法による下水処理の特徴を示している。無次元量の構成因子は、操作法といふよりむしろ操作の結果維持されている活性度や、基質の性質などに支配される。これに対しでは、操作条件に直接支配される。これは  $S_0$  が一定ではない、より複雑な操作の場合にも注意すべき点である。われわれが対象とする高負荷運転とは、このでを標準的運転と同等かそれ以上の結果の期待されるレベルに保持し、かつ施設の建設、運転の経済性などの点でより合理的なものを見出せうとして行なうもので、結果的に  $BOD/\text{日}/\text{MLSS}$  あまり変化せず、 $BOD/m^3/\text{日}$  の密接負荷を大幅に上昇させる。その実際の成績や理論的意義は 3. 4. に述べる。

### 3. 東大阪におけるパイロント・プラントによる高負荷運転

上の考え方による高負荷運転の予備的実験は、1 年前京都市鳥羽処理場において短期間試み、その可能性を確めたのち、昨年から東大阪八尾市内の堺市浄水場模擬、特別都市下水路である長瀬川水を原水として正常に処理実験を開始した。この原水は、図-1、図-2にも示すとおり運動がさわめて激しく、エバブル・リバーブル下水の混合物である。実験装置は、これまで用いてきたと同じで、長さ 16 m、断面の 0.75 × 0.75 m のばかりの構造の前後に、同じ断面で長さ 4 m の最初、最終曝気槽、および付帯設備、試験室から成る。実験は最初標準式、のち高負荷および準高負荷に切り替え、今日に至った。図-1、2、3 はとくと本代表的な高負荷条件を與えて、これに応する水質応答を示したものであるが、直線的試験の結果（図-1、2）からわかるように、 $BOD$ 、 $COD$  の除去率（トータル）、溶解性  $BOD$  の除去率、比濃度・ヨック化に対する応答等どの結果も予期の成績を収めえた。しかし中スケールの装置で最終濃縮池が運営荷とかられ、および高濃度時の酸素供給について問題が残つてゐる。これらについては第 5 章で別途検討する。

### 4. 高負荷運転の根柢と理論的検討

2. で述べた支配因子のうち、常に比例する  $S_{\infty}$  の値は、操作が標準法と同様なものであるかぎり、4/8 時、すなはち流入  $BOD_t(kg)/\text{日}/\text{MLSS}(kg)$  を 0.2 ~ 0.4 の範囲において、 $S_0$  すなはち  $MLSS$  が上昇させ、たゞ短かくすることの可能性を示唆している。このことは一應 3. の実績によつて裏付けられるわけであるが、さらに i) シリーズの限界値がどの辺か、ii) 酸素の供給率と伝達方法に制約はないか、iii) 基質による活性汚泥との混合比率はどう操作すれば最善か、が問題である。i) と ii) とは相互に關係があり、実際操作の便宜や経済性がよりよく検討される必要がある。以下 iii) についての検討の基礎成り立述べるが、これはハップ・エアレーションやバイオソープヒュニン等の操作に關係が深い。

説明図により一般の場合を参考ると、流れが一過式であれば始端から  $x$  の断面における混合液の実流過時間  $T_x$  は、 $T_x = rQ + \int_0^x g(x) dx$  であるから、

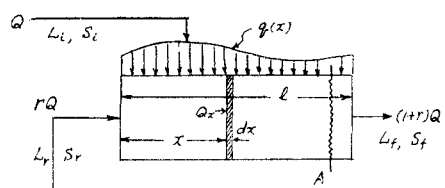
$$\frac{dx}{dt} = \frac{S_0}{A} = v_0 r + \frac{1}{A} \int_0^x g(x) dx \quad \dots \dots (3)$$

$$T_x = \int_0^x ds / (v_0 r + \frac{1}{A} \cdot \int_0^x g(x) dx) \quad \dots \dots (4)$$

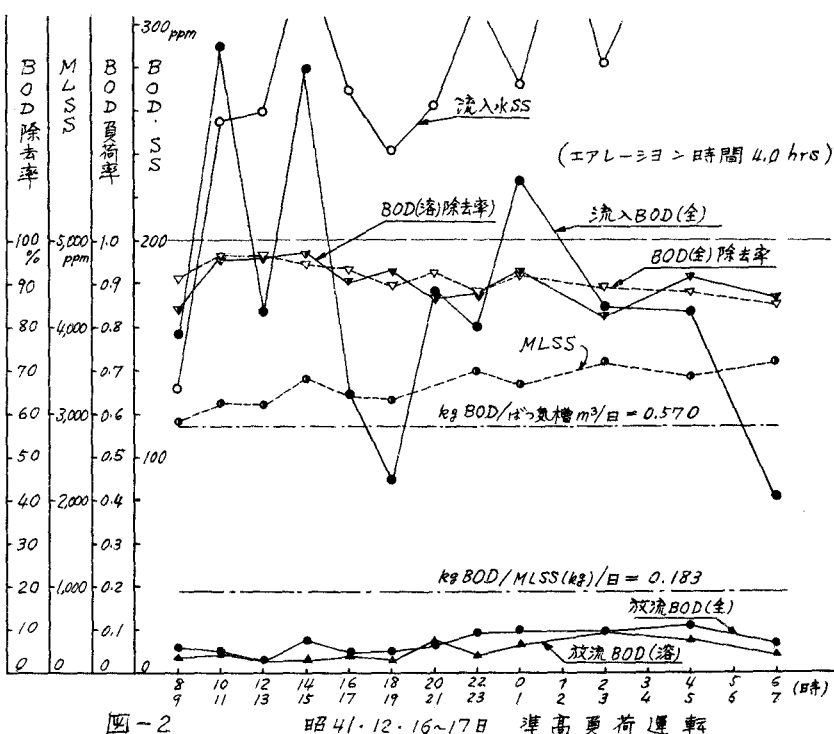
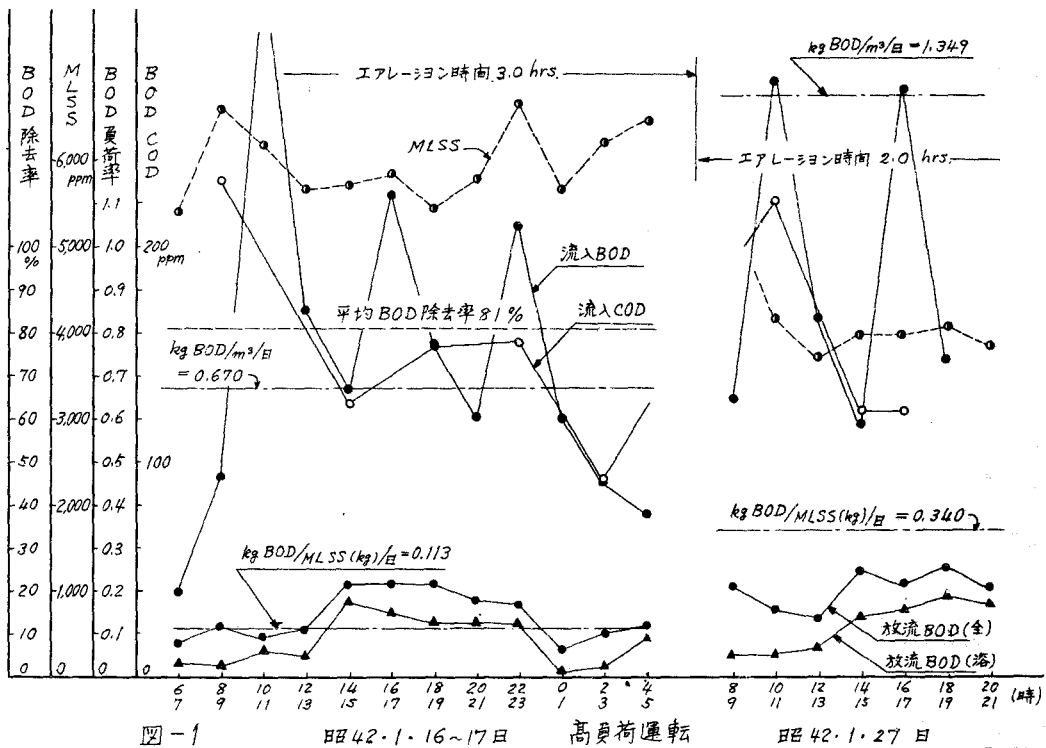
$$(v_0 = Q/A)$$

つぎに、 $x$  における  $MLSS$ 、 $S_x$  は (3) 式であらわされる。

$$S_x = (rQ \cdot S_r + Qx \cdot S_i) / (rQ + Qx) \quad \dots \dots (5)$$



説明図 (-般の場合)



一方、溶解性基質濃度は分散添加により単位時間、単位体積の混合液あたり平均  $L_i g_x/A$  である。これは基礎式  $dL/dt = -k_i S L$  の右辺に付加されるべき量であり、自家呼吸の影響を無視すれば、

$$dL/dt = -k_i L (rQ \cdot S_r + Q_x \cdot S_i) / (rQ + Q_x) + L_i g_x / A \quad \dots \dots \dots (6)$$

ステップ・エアレーションやバイオソープション等は、この式が、または(6)に自家呼吸の影響を加味した基礎式からその浄化機構を説明することができる。次に1例として基質添加が一様な場合を示す。

[例]  $g_x(x) = \text{const.} = g_0$  の場合  $T_x$  もよび  $T_d$  はつきのようにあらわせる。

$$T_x = \int_0^x dx / v_0 (r + x/r) = t_a (1+r) \log_e (1 + \frac{x}{r t_a}), \quad T_d = t_a (1+r) \log_e (\frac{1+r}{r}) \quad \dots \dots \dots (7)$$

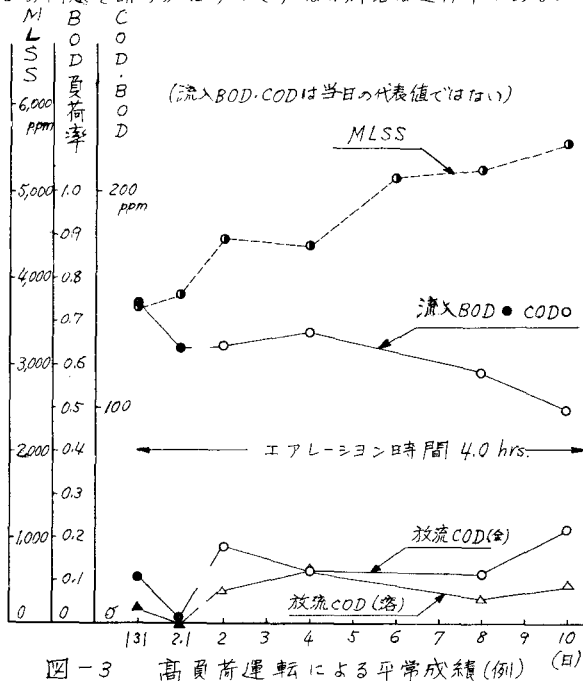
$r=0.25$  とすれば、 $T_d = 1.25 t_a \log_e (5.0) \cong 2.01 t_a$  となる。この時基質の平均曝気時間は  $0.748 t_a$  つきに  $S_x$  もよび(6)式はつきのように表現される。

$$S_x = (S_r - S_i) e^{-t/t_a(1+r)} + S_i, \quad \dots \dots \dots (8)$$

$$dL/dt = -k_i L (S_r - S_i) \exp[-t/t_a(1+r)] + k_i S_i L + v_0 L_i / r \quad \dots \dots \dots (9)$$

## 5. 結び

高負荷運転が浄化機能、容積負荷などの点で適切な操作法、または有利な方法と考える根拠がある。それは標準的操作と類似の基質添加をする場合、理論的にも妥当で、東大阪での総合排水による実験でかなりの成果が得られた。一般的な操作の場合を検討する基礎式を得られたが、酸素伝達や最適濃度などの問題を明らかにすべく、なお研究は進行中である。



長瀬川(特別都市下水路)

(ppm)	含有物質(%)	
	全	溶解性
全窒素	17.0	14.1
NH <sub>3</sub> -N	4.2	4.1
Alb-N	8.1	4.7
有機性N	12.8	10.0
NO <sub>2</sub> -N	—	—
NO <sub>3</sub> -N	—	痕跡
炭水化物	134.0	8.6
カルシウム	—	101.9
マグネシウム	—	11.9
酸可溶性F <sub>o</sub>	5.3	—
溶解性F <sub>o</sub>	—	0.4
Cl <sup>-</sup>	—	229.0
SO <sub>4</sub> <sup>2-</sup>	—	124.0
PO <sub>4</sub> <sup>3-</sup>	—	17.1
SiO <sub>2</sub>	—	27.0